

شناسایی الگوهای گردشی بارش‌های شدید موجود سیل در منطقه فارس

امیرحسین حلبیان*

دانشیار، گروه جغرافیا، دانشگاه پیام نور، تهران، ایران
تاریخ دریافت: ۹۳/۵/۳؛ تاریخ پذیرش: ۹۴/۳/۲۵

چکیده

بارش‌های شدید به عنوان یکی از مخاطرات محیطی همواره طی تاریخ حیات بشری ابعاد مختلف زندگی را دستخوش تغییر و تهدید نموده و باعث خسارات مالی و حتی جانی زیادی در جهان شده‌اند. از این‌رو، هدف غایی این مطالعه همید است. تبیین اندرکنش‌های کلیدی میان جو و محیط سطحی و به عبارتی کشف رابطه میان الگوهای گردشی موجود بارش‌های شدید در منطقه فارس به‌منظور پیش‌بینی وقوع رگبارهای منجر به سیل است. به منظور شناسایی و تحلیل الگوهای گردشی بارش‌های شدید سیل‌زا در فروردین ۱۳۹۱ در منطقه فارس از آمار ۲۴ ایستگاه باران‌سنگی استفاده گردید. در ادامه، به‌منظور تعیین الگوهای همید بارش‌های شدید پدید آورنده سیل، داده‌های فشار تراز دریا، ارتفاع ژئوپتانسیل، نم ویژه، مؤلفه باد مداری (U) و نصف النهاری (V) در ترازهای مختلف به صورت ۶ ساعته از NCEP/NCAR از دو روز قبل از بارش اخذ و با بهره‌گیری از رویکرد محیطی به گردشی تحلیل گردید. نتایج حاصل از این پژوهش نشان داد که در روزهای اوج بارش بر روی منطقه فارس استقرار سامانه کم‌فشار دینامیکی سازوکار اصلی رخداد بارش را رقم می‌زند. در عین حال، یافته‌ها حاکی از این است که رخداد بارش‌های شدید سیل‌زا در منطقه فارس ناشی از حضور فرودی بسیار عمیق بر روی دریای سیاه و شرق مدیترانه در تراز میانی جو است. نقشه‌های همگرایی شار رطوبت نیز نشان داد که بارش‌های شدید منطقه ناشی از اثر پهنه‌های رطوبتی خلیج فارس، دریای عرب و دریای سرخ می‌باشد.

واژه‌های کلیدی: بارش شدید، تحلیل همید، الگوهای گردشی، الگوهای ضخامت، همگرایی شار رطوبت، فارس

میزان بارش (عنصر اقلیمی) به حدی باشد که سبب سرریزشدن آب از مجرای اصلی خود و طغیان رودخانه شود، سیل اتفاق افتاده است. بنابراین، عناصر اقلیمی (رگبارهای بارش) عامل اصلی ایجاد سیل است (حجازی زاده و همکاران، ۱۳۸۶: ۱۲۸). به عبارتی می‌توان گفت، سیل بالا آمدن نسبتاً زیاد آب در یک رودخانه یا مسیل است. این بالا آمدن حالتی نسبی داشته و اصولاً نسبت به رژیم عادی یا نرمال سنگیده می‌شود (غیور، ۱۳۷۵: ۱۰۲). در واقع، یکی از مهمترین مسائل محیطی بررسی موج‌های بارشی شدید و ینی سیلابهای است. براساس روش‌های متداول هیدرولوژیستها بررسی و پیش‌بینی سیلابها پس از شروع رگبار امکان‌پذیر است که معمولاً وقت کافی برای عملیات آمادگی وجود ندارد؛ اما اگر الگوهای

مقدمه و طرح مساله

یکی از شاخه‌های مهم علم اقلیم شناسی همید، شناسایی حالت‌های فرین ویژگی‌های محیطی مانند طوفان‌های شدید، حدوث موج بارش‌های شدید منجر به سیل، آتش سوزی جنگل‌ها و ... و نیز تعیین الگوهای گردشی مسبب آنها است. این نوع مطالعات می‌تواند موردی یا اقلیمی باشد. اساساً، موج‌های بارشی شدید به عنوان عاملی مخاطره انجیز در بروز حوادث طبیعی مثل سیل مطرح می‌باشد. از این رو مطالعه همیدی سامانه‌های مولد آن می‌تواند نقش مهمی در تشخیص به موقع و کنترل سیلاب، آب گرفتگی شهری، آبخیزداری و کاهش ضایعات و تخریب داشته باشد. از دیدگاه اقلیم‌شناسی، هرگاه

یا سه دهه اخیر صورت گرفته است. یارنال و فریکس (Yarnal & feriqse, 1994) رابطه بین الگوهای گردشی و طغیان‌های حوضه ساسکوانا در جنوب غربی ایالت پنسیلوانیا را مورد مطالعه قرار دادند. نتایج این پژوهش نشان داد که فراوان ترین و مهمترین الگوی توالی در ایجاد سیلاب‌های حوضه مزبور کم‌فشارهای قوی هستند که جهه‌های سرد و گرم شدید دارند (علیجانی، ۱۳۸۵: ۱۵۷). کمویوسکیو و همکاران (Komuscu et al., 1998) به تحلیل هواشناسی عوامل ایجاد کننده سیلاب‌های بزرگ روزهای سوم و چهارم نوامبر ۱۹۹۵ شهر ازمیر ترکیه پرداختند. بر اساس یافته‌های آنها در مقیاس متوسط پدیده‌هایی چون وزش سطوح پایین، چرخدگی مثبت و همگرایی شدید در سطوح بالا از عوامل بروز توفان‌های شدید منجر به وقوع سیلاب‌های ویرانگر می‌باشد. کریچاک و همکاران (۲۰۰۰) با بررسی توفان‌های شدید ۲ نوامبر ۱۹۹۴ جنوب شرقی مدیترانه به این نتیجه رسیدند که پیشرفت این توفان‌ها نتیجهٔ غیرآدیاباتیک شدید ناشی از مقدار زیاد گرما و رطوبت موجود در هوای حراره‌ای می‌باشد. روهلی و همکاران (Rohli et al., 2001) رابطه بین الگوهای گردشی و دبی حوضه دریاچه‌های بزرگ امریکا را مورد بررسی قرار دادند. نتایج تحقیقات آنها نشان داد که تغییرات رواناب در ناحیه مذکور با میانگین ماهانه ارتفاع ژئوپتانسیل تراز ۷۰۰ هکتوپاسکال رابطهٔ ضعیف، اما با فشار تراز دریا بر روی ایالت‌های میسوری و ایلی نویز همبستگی بالا دارد. کاهانا (Kahana et al., 2002) در بررسی سینوپتیکی کلیماتولوژی سیل‌های بزرگ در بیابان نق卜 به مطالعه ۵۲ مورد سیل در منطقه پرداخته است که نتایج این پژوهش حاکی از آن است که در ۳۷ مورد از سیل‌های به وقوع پیوسته دو الگو وجود دارد: ناوه عمیق بر فراز دریای سرخ و دیگری کم‌فشار سوریه. ترویوکی کاتو (Teruyuki Kato, 2004) بارش‌های ناحیه ناگاتافوی کوشیما را در روزهای سیزدهم و هجدهم ۲۰۰۴ بررسی کرده و نتیجهٔ گرفته که عامل اصلی این نوع بارش‌ها، تشدید ناپایداری هم‌رفتی ناشی از هوای مرطوب سطح پایین و هوای

گردشی پدید آورنده موج‌های بارشی شدید شناسایی شوند می‌توان از حداقل یک یا دو روز قبل از رویت آغاز توالی الگوهای مختوم به ایجاد سیل، وقوع آن را پیش‌بینی کرد (علیجانی، ۱۳۸۵: ۱۵۶). امروزه یکی از ابزارها و روش‌های مطرح در رابطه با پدیده موج‌های بارشی سیل‌زا، بررسی سینوپتیکی این بارش‌ها می‌باشد؛ چرا که شناخت دقیق ساز و کار و نحوه عمل الگوهای گردش جوی و عناصر موثر در وقوع این نوع بارش‌ها بسیار حائز اهمیت است؛ بهویژه آن که این نوع بارش می‌تواند با تبدیل به روان آب پدیده سیل را ایجاد کند که خسارات جانی و مالی فراوانی را به بار می‌آورند. از این رو، شناخت علل و عوامل موجد آن و در صورت امکان پیش‌بینی زمان و شدت وقوع آن ضروری اجتناب‌ناپذیر است. سیلاب را نه تنها با در نظر گرفتن الگوی گردشی در روز رخداد، بلکه با بررسی الگوهای گردشی چند روز پیش از رویداد سیلاب بهتر می‌توان شناخت. این موضوع از یک سو نشان از این دارد که الگوهای گردشی پیش از رخداد سیلاب نقش مهمی در تعیین شرایط و محتوای رطوبتی قلمرو مطالعاتی دارند و به سبب تعیین رطوبت پیشین نقشی اساسی در ضریب جریان منطقه ایفا می‌کنند و از دیگر سو مبین این نکته است که در بررسی موج‌های بارشی شدید منجر به سیلاب‌ها و عوامل هواشناختی موجد آنها ناگزیر به ردیابی سامانه‌های همدید باران‌زا از سرچشمۀ تا محل پایان فعالیت آنها هستیم تا از این طریق به شناخت جامع-تری از ارتباط بین الگوهای گردشی و سیلاب‌ها دست یابیم. به عبارت دیگر، شناسایی الگوهای همدید پدید آورنده بارش‌های شدید موجد سیلاب نه تنها ساز و کار پیدایش آنها را آشکار می‌سازد بلکه برای پیش آگاهی و آمادگی رویارو شدن با آنها نیز سودمند است.

پیشینه تحقیق

در زمینه بارش‌های سنگین و سیل‌زا تحقیقات گستره‌های در جهان و ایران انجام شده است، با این وجود سابقهٔ پژوهش‌های همدید در این زمینه در ایران قدمت زیادی ندارد و اغلب این مطالعات در دو

ترمودینامیکی واقعه سیل اسفندماه ۱۳۷۱ در حوضه آبی کارون پرداختند. آنان به این نتیجه رسیدند که استقرار یک مرکز کم‌فشار بر روی شرق شبه جزیره عربستان سبب انتقال رطوبت و گرما به درون سامانه کم‌فشار جنوب غرب ایران شده و میزان رطوبت را به مقدار زیادی افزایش داده است. مرادی (۱۳۸۰) ضمن بررسی سینوپتیک سیلاب ۲۱ آبان ماه سال ۱۳۷۵ در نواحی مرکزی استان مازندران، عامل اصلی وقوع بارش را حاکمیت پشتۀ پرفشار در سطح زمین و حضور ناوه در ترازهای بالایی جو می‌داند. اسدی و مسعودیان (۱۳۸۳) با هدف بررسی سیستم‌های وارد شده به منطقه و مطالعه سینوپتیکی بارندگی و سیستم‌های جوی موجب بارش‌های سنگین طی روزهای ۱۷ الی ۲۲ دی ماه سال ۱۳۸۰ در شیراز، نشان دادند که سیستم‌های باران‌زای مدیترانه‌ای، سودانی - دریای سرخ در صورت حاکمیت کم‌فشار در سطح ۵۰۰ هکتوپاسکال از عوامل ایجاد این سیلاب بوده است. مرادی (۱۳۸۳) به پیش‌بینی سیلاب‌ها بر اساس موقعیت سامانه‌های همدید در شمال شرق ایران پرداخته و به این نتیجه رسیده است که در ایجاد بارش‌های سیل‌زا در این منطقه چهار الگوی کم‌فشارهای مدیترانه‌ای، کم‌فشارهای سودانی - دریای سرخ و کم‌فشارهای مهاجر قطبی سیبری مؤثر هستند. مفیدی (۱۳۸۳) در پژوهشی با هدف اقلیم‌شناسی سینوپتیکی بارش‌های سیل‌زا با منشاً منطقه‌دیریای سرخ در خاورمیانه به این نتیجه رسید که شدیدترین بارش در منطقه دریای سرخ هنگامی اتفاق می‌افتد که ناوه امواج غربی در ترازهای میانی جو به سمت شرق مدیترانه حرکت نموده و به منطقه دریای سرخ نفوذ نماید. مسعودیان (۱۳۸۴ - الف) در مطالعه‌ای تحت عنوان شناسایی الگوهای گردشی پدیدآورنده سیلاب‌های بزرگ در کارون، شش الگوی گردشی ایجاد کننده سیلاب‌های بزرگ در کارون را شناسایی نمود و نشان داد که الگوی کمارتفاع، ارتباط معناداری با بارش و رواناب دارد. همچنین، مسعودیان (۱۳۸۴ - ب) در پژوهشی به پیش‌بینی سیلاب‌های استان

خشک سطح بالا بوده است. زیو و همکاران (Ziv et al., 2005) توفان‌های ایجاد‌کننده سیلاب‌های بزرگ حاره‌ای در میانه زمستان جنوب اسرائیل را در روزهای ۲۰-۲۳ دسامبر ۱۹۹۳ بررسی کردند. نتایج تحقیقات آنها نشان داد این توفان‌ها حاصل ناوه فعال دریای سرخ می‌باشد. لی دونگ کیو و همکاران (Lee Dong-Kyou et al., 2009) بارش‌های سنگین هجده روزه، از سوم جولای تا هفدهم آگوست ۱۹۸۸ جنوبی را با استفاده از روشی گسترشی با مقیاس همدیدی مطالعه کردند و به این نتیجه رسیدند که مهم‌ترین علت بارش‌ها استقرار جبهه‌های موسمی بوده که به مدت بیست روز بر روی مرکز چین و شبه جزیره کره حاکمیت داشته است. کارلا لیما و همکاران (Carla Lima et al., 2009) ضمن بررسی رویدادهای بارش سنگین در تابستان‌های گرم و مطروب در جنوب شرقی بربازیل نشان دادند که این رویدادها اکثراً ناشی از دو نوع آشفتگی جوی هستند: جبهه سرد (در حدود ۵۳ درصد از رویدادها) و منطقه همگرایی آتلانتیک جنوبی (۴۸ درصد از رویدادهای را در بر می‌گیرد). ماتسرانگلو و همکاران (Mastrangelo et al., 2009) به مطالعه سازوکارهای رخداد بارش‌های سنگین طولانی مدت جنوب شرق ایتالیا پرداختند. همچنین، بارش‌های فرین مرتبط با الگوهای همدید در جنوب شبه جزیره ایبری نیز توسط هبدالگو - مونز و همکاران (Hidalgo-Munoz et al., 2001) مورد واکاوی قرار گرفت.

در ایران نیز باقری (۱۳۷۲) ضمن بررسی سینوپتیکی سیستم‌های سیل‌زا در شمال ایران به این نتیجه رسید که بارش‌های سیل‌زا نتیجه حضور واچرخندی است که در شمال و شمال شرق دریای خزر مستقر شده است. همزمان با بارش‌های شدید، رویداد جنب حاره نیز در منطقه حضور داشته است. غیور (۱۳۷۵) ضمن بررسی سیل و مناطق سیل خیز در ایران به عوامل پیدایش سیلاب، توزیع جغرافیایی سیل و توزیع مکانی سیلاب در ایران و سرانجام روش‌های مقابله با سیل پرداخته است. کاویانی و حجتی زاده (۱۳۸۰) به تحلیل سینوپتیکی و

روش تحقیق

لازم‌ة انجام صحیح و اصولی هر پژوهشی تهیه پایگاه داده مناسب می‌باشد، در این مطالعه همدید نیز نیاز به دو پایگاه داده ضرورت می‌یابد: یکی پایگاه داده رویداد محیطی (سطحی) مورد نظر که در این پژوهش، بارش روزانه است و دیگری پایگاه داده جوی که چگونگی جریان‌های جوی را مشخص می‌کند. به عبارت دیگر، پایگاه داده این پژوهش از دو گروه متغیر تشکیل شده است: یک گروه متغیرها و داده‌های جوی مشتمل بر ارتفاع ژئوپتانسیل^۱ تراز ۵۰۰ هکتوپاسکال (بر حسب ژئوپتانسیل متر)، باد مداری^۲ و باد نصف النهاری^۳ (بر حسب متر بر ثانیه) و نم ویژه^۴ (بر حسب گرم بر کیلوگرم) طی ساعتهاي ۰۰:۰۰، ۰۶:۰۰، ۱۲:۰۰ و ۱۸:۰۰ گرینویچ در محدوده ۰ تا ۸۰ درجه ی شمالی و ۰ تا ۱۲۰ درجه شرقی با تفکیک مکانی ۲/۵×۲/۵ درجه قوسی که از پایگاه داده اقیانوس شناسی ایالات متحده آمریکا برداشت شده است و گروه دیگر داده‌های بارش روزانه ایستگاه‌های باران‌سنگی منطقه طی روزهای ۷ تا ۱۴ فروردین ماه ۱۳۹۱ (۲۶ مارس الی ۲ آپریل ۲۰۱۲) می‌باشد (جدول ۱).

به منظور شناسایی الگوهای گردشی موج بارش‌های شدید موج سیل در استان فارس در فروردین ۱۳۹۱، ابتدا در قالب رویکرد محیطی به گردشی تاریخ وقوع سیل در قلمرو مطالعاتی استخراج گردید. سپس بارش‌های روزانه ایستگاه‌های باران‌سنگی منطقه گردآوری و بدین ترتیب، روزهایی که بارش سنگین در قلمرو مورد بحث حادث شده، مشخص گردید. در نهایت نقشه‌های الگوهای گردشی فشار تراز دریا، تراز ۵۰۰ هکتوپاسکال، الگوهای ضخامت جو ترازهای ۱۰۰۰-۵۰۰ هکتوپاسکال وتابع ۱۳۹۱ همگرایی شار رطوبت از روز ۷ تا ۱۴ فروردین

چهارمحال و بختیاری پرداخته است. بررسی نتایج این تحقیق نشان داد که از ۱۷ الگوی گردشی شناسایی شده تراز ۵۰۰ هکتوپاسکال چهار الگوی ناوہ دریای سیاه، ناوہ غرب مدیترانه، ناوہ سوریه و ناوہ شرق مدیترانه بیشترین ارتباط را با بارش‌های این استان دارد. حجازی‌زاده و همکاران (۱۳۸۶) در پژوهش خود با عنوان بررسی و شناسایی الگوهای سینوپتیکی تراز ۵۰۰ هکتوپاسکال مولد سیلابهای مخرب و فراغیر سطح حوضه دریاچه ارومیه طی دوره ۱۳۷۰-۸۴ به این نتیجه رسیدند که به هنگام وقوع سیلاب‌های مذکور محور تراف به سمت عرض‌های جغرافیایی پایین عمیق‌تر شده و موقعیت حوضه دریاچه ارومیه نسبت به اغتشاشات سطح بالا به گونه‌ای بوده که یا در زیر منطقه واگرایی بالایی جلو تراف‌های موج کوتاه بادهای غربی قرار گرفته، یا در زیر قسمت جلوی سیستم سینوپتیکی سردچال بالایی واقع شده و یا این که در زیر قسمت جلوی بادهای غربی مسیر جنوبی سیستم مانع قرار گرفته است. پرنده خوزانی و لشکری (۱۳۸۹) به بررسی سینوپتیکی سیستم‌های سیل‌زا در جنوب ایران پرداخته‌اند. آنان به این نتیجه رسیده‌اند که طوفان‌های شدید که منجر به وقوع بارش‌های سنگین و سیل‌آسا در این منطقه شده‌اند نتیجه تقویت و گسترش مرکز کم‌فشار سودان و منطقه همگرایی دریای سرخ و در مواردی هم ناشی از ادغام مرکز کم‌فشار سودان با مرکز کم‌فشار مدیترانه‌ای بوده است. در این پژوهش به صورت موردي موج بارشی شدید فروردین ماه ۱۳۹۱ استان فارس به صورت همدید مورد توجه قرار گرفته است. در واقع این پژوهش سعی بر این دارد که الگوهای گردشی پدیدآورنده بارش‌های شدید سیل‌زا فروردین ۱۳۹۱ را در استان فارس شناسایی کند تا در صورت امکان از طریق پیش‌بینی این نوع الگوها، قبل از وقوع سیل بتوان اقدامات پیش‌گیرانه لازم را جهت جلوگیری از خسارات احتمالی را به عمل آورد.

1- Hgt

2- Uwnd

3- Vwnd

4- Shum

5-National Center for Environmental Prediction/
National Center for Atmospheric Research

با توجه به جدول‌های یک و دو، در روزهای اوج بارش (۹ تا ۱۲ فرودین) میزان رطوبت نیز نسبت به روزهای قبل و بعد از بارش، افزایش چشمگیری داشته است که می‌توان منبع تأمین‌کننده رطوبت بارش‌ها را به واسطهٔ معادله همگرایی شار رطوبت، محاسبه و ارزیابی نمود. بناکوس و شولت (Banacos and Schulta, 2004) ضمن بررسی تاریخچه‌ای از مطالعاتی که بر روی همرفت رطوبت انجام شده، به معرفی روش‌های مناسب جهت محاسبه همگرایی شار رطوبت (MFC) پرداخته‌اند که صورت برداری معادله مذبور به صورت زیر است (Banacos and Schulta, 2004):

(رابطه ۱)

$$MFC = -\nabla \cdot (q \bar{V}_h) = -\bar{V}_h \cdot \nabla q - q \nabla \cdot \bar{V}_h,$$

(رابطه ۲)

$$MFC = \left(-u \frac{\partial q}{\partial x} - v \frac{\partial q}{\partial y} \right) - q \left(\frac{\partial u}{\partial x} - \frac{\partial v}{\partial y} \right)$$

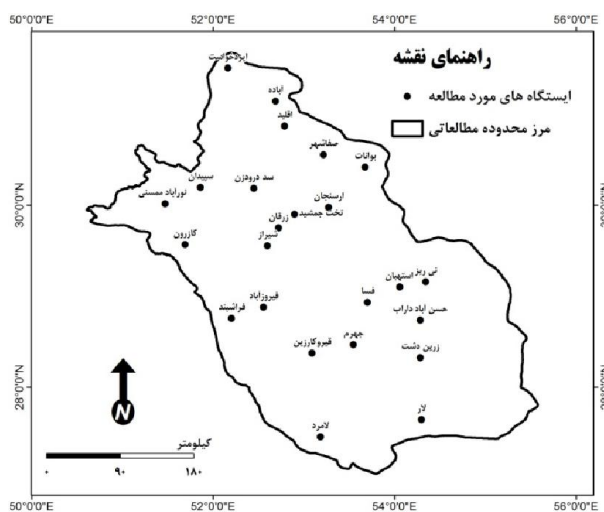
جمله همگرایی

جمله وزش

که در آن:

$-\bar{V}_h \cdot \nabla q$: همگرایی شار رطوبت، $q \nabla \cdot \bar{V}_h$: وزش رطوبتی، u و v : متغیرهای مستقل مکانی؛ u و v : مؤلفه‌های مداری و نصف النهاری باد می‌باشد.

(که از نظر تقویمی منطبق بر ۴۸ ساعت قبل از شروع بارش‌های مذکور تا پایان فعالیت طوفان می‌باشد) با استفاده از داده‌های اخذ شده از پایگاه اطلاعاتی NCEP/NCAR ترسیم و شرایط همدید بارش‌های مذبور در منطقه، مورد بررسی و تفسیر قرار گرفت. در این پژوهش، علت انتخاب تراز ۵۰۰ هکتوپاسکال از یکسو مبتنی بر این واقعیت است که جریان‌های این تراز جوی به عنوان لایه میانی جو نقش تعیین کننده‌ای در آرایش فشار سطحی دارد و از دیگر سو به سبب نقش تعیین کننده‌ای است که الگوهای جریان‌های جوی این تراز در تغییرات نهاده‌های اصلی اقلیمی (دما و بارش) ایفا می‌کنند. از آن جایی که مراکز کنش جوی از لحاظ مداری و نصف النهاری تعاملاتی نسبت به یکدیگر دارند، در این پژوهش جهت تبیین بهتر تأثیر رفتار همدید سامانه‌های فشار بر رخداد بارش‌های شدید منجر به سیلاب و توجه به الگوها و هسته‌های ادغامی محدوده ۰ تا ۸۰ درجه شمالی و ۰ تا ۱۲۰ درجه شرقی به سبب قرارگیری ایران در عرض‌های میانه و حاکمیت جریان‌های غربی انتخاب شده است تا کلیه سامانه‌های فشار که منطقه مطالعاتی را تحت تأثیر قرار می‌دهند بتوان مطالعه کرد.



شکل ۱- موقعیت ایستگاه‌های باران‌سنجی استان فارس

که نقشه‌های ترسیم شده برای الگوهای فشار تراز دریا، الگوهای گردشی و الگوهای ضخامت جو در تاریخ‌های مورد نظر به صورت میانگین روزانه و نقشه‌های شار رطوبت به عنوان تغییرات شدید ساعت به ساعت، به صورت شش ساعت طی ساعت‌های ۰۰:۰۰، ۰۶:۰۰، ۱۲:۰۰ و ۱۸:۰۰ به وقت گرینویچ ترسیم شده است. بررسی نقشه‌های همگرایی شار رطوبت به واسطه تحلیل نقشه‌های فراوانی رطوبت، نشان از اهمیت تراز ۱۰۰۰ و ۹۲۵ هکتوپاسکال طی ساعت ۱۸ در تأمین رطوبت برای بارش‌های موجود سهل در منطقه مورد نظر داشت که در ادامه بدان می‌پردازیم.

بحث اصلی

بر اساس جدول ۱، بیشینه بارش به ترتیب در ایستگاه‌های لار با $۰/۳$ میلی‌متر در روز ۸ فروردین، استهبان با $۲۲/۴$ میلی‌متر در روز ۹ فروردین، بوانات با $۴۲/۶$ میلی‌متر در روز ۱۰ فروردین و اقلید با $۶۷/۸$ میلی‌متر و $۴۳/۸$ میلی‌متر در روزهای ۱۱ و ۱۲ فروردین به وقوع پیوسته است.

در این راستای هدف پژوهش، الگوهای فشار تراز دریا، الگوهای گردشی تراز ۵۰۰ هکتوپاسکال، الگوهای ضخامت ترازهای ۱۰۰۰-۵۰۰ هکتوپاسکال، نقشه‌های شار رطوبت ترازهای ۵۰۰، ۶۰۰، ۷۰۰، ۸۵۰ و ۹۲۵ و ۱۰۰۰ هکتوپاسکال ترسیم گردید. لازم به ذکر است

جدول ۱: بارش روزانه (۲۴) ایستگاه استان فارس طی روزهای ۷ تا ۱۴ فروردین (۱۳۹۱)

| ۱۴ فروردین | ۱۳ فروردین | ۱۲ فروردین | ۱۱ فروردین | ۱۰ فروردین | ۹ فروردین | ۸ فروردین | ۷ فروردین | روز ایستگاه | ۷. ^۹ |
|---------------|---------------|---------------|---------------|---------------|--------------|--------------|--------------|----------------|-----------------|
| - | - | ۱۷,۶ | ۱۴,۱ | ۶,۶ | ۴,۷ | - | - | آباده | ۱ |
| - | - | ۲۷,۹ | ۴۹,۱ | ۲۰,۳ | ۱۸,۸ | - | - | اردکان | ۲ |
| - | - | ۹,۷ | ۵,۵ | ۷,۶ | ۱۰,۵ | - | - | ارسنجان | ۳ |
| - | - | ۱۷,۴ | - | ۶,۹ | ۲۲,۴ | - | - | استهبان | ۴ |
| - | - | ۴۳,۸ | ۶۷,۸ | ۲۴,۶ | ۸,۳ | - | - | اقلید | ۵ |
| - | - | ۲۱,۳ | ۲,۶ | ۱,۱ | ۷,۵ | - | - | ایزدخواست | ۶ |
| - | - | ۳۱,۶ | ۳۰ | ۴۲,۶ | ۳ | - | - | بوانات | ۷ |
| - | - | ۱۳,۸ | ۱۲,۹ | ۷,۸ | ۶,۵ | - | - | تخت حمید | ۸ |
| - | - | ۸,۱ | - | ۰,۹ | ۸,۶ | - | - | چهرم | ۹ |
| - | - | ۳,۱ | - | ۰,۸ | ۹,۲ | - | - | داراب | ۱۰ |
| - | - | ۲۷ | ۲۱,۸ | ۲۳,۸ | ۵,۵ | - | - | درودزن | ۱۱ |
| - | - | ۱۶,۹ | ۱۴,۹ | ۳,۵ | ۷,۴ | - | - | زرقان | ۱۲ |
| - | - | ۶,۵ | - | - | ۱,۹ | - | - | زرین دشت | ۱۳ |
| - | - | ۱۱,۶ | ۸,۹ | ۴,۴ | ۸,۶ | ۰,۱ | - | شیراز | ۱۴ |
| - | - | ۱۲,۱ | ۲۴,۴ | ۱۰,۳ | ۵,۱ | - | - | صفاشهر | ۱۵ |
| - | - | ۷,۷ | - | ۲,۴ | ۶,۸ | - | - | فراشبند | ۱۶ |
| - | - | ۴,۸ | - | ۵,۳ | ۲۱,۲ | - | - | فسا | ۱۷ |
| - | - | ۱۵,۸ | ۰,۴ | ۳,۴ | ۱۴,۹ | - | - | فیزآباد | ۱۸ |
| - | - | ۱۱,۲ | - | ۰,۹ | ۱۰,۶ | - | - | قیرو کارزین | ۱۹ |
| - | - | ۱۱ | ۹,۲ | ۲,۹ | ۴,۸ | - | - | کازرون | ۲۰ |
| - | - | ۲,۹ | - | - | - | ۰,۳ | - | لار | ۲۱ |
| - | - | ۰,۵ | - | - | ۰,۴ | - | - | لامرد | ۲۲ |
| - | - | ۱۴,۹ | ۱۵,۸ | ۶,۲ | ۹,۲ | - | - | نورآباد ممسنی | ۲۳ |
| - | - | ۷,۵ | - | ۲,۵ | ۸,۱ | - | - | نی ریز | ۲۴ |

* منبع: اداره هواشناسی استان فارس

(محدوده بین دریای خزر و دریای سیاه) هسته کم‌فشاری مستقر است که زبانه‌های آن ایران را در بر گرفته است. البته یک هسته کم‌فشار نیز در جنوب غرب دریای سرخ حضور دارد که زبانه‌های آن تا میانه دریای سرخ کشیده شده است. در روز بعد این هسته‌های فشار به سمت مناطق شرقی خود حرکت نموده؛ ضمن این که ایران زیر سیطره کم‌فشار است.

الگوهای فشار تراز دریا: با توجه به نقشه‌های الگوهای فشار تراز دریا (شکل ۲) در روزهای مورد بحث، در تاریخ ۷ فروردین، در دو سوی شمال غرب و شمال شرق ایران هسته‌های پرفشار قوی دیده می‌شود. یک هسته با میزان ۱۰۲۵ هکتوپاسکال مابین دریاچه‌های آرال و بالخاش و دیگری در غرب اروپا حضور دارد که میزان فشار هسته مرکزی آن ۱۰۳۵ هکتوپاسکال می‌باشد. ما بین این دو هسته پرفشار

جدول ۲: میزان رطوبت روزانه ایستگاه‌های استان فارس ایران طی روزهای ۷ تا ۱۴ فروردین ۱۳۹۱

| ردیف | ایستگاه \ روز | ۱۴ فروردین | ۱۳ فروردین | ۱۲ فروردین | ۱۱ فروردین | ۱۰ فروردین | ۹ فروردین | ۸ فروردین | ۷ فروردین |
|------|---------------|------------|------------|------------|------------|------------|-----------|-----------|-----------|
| ۱ | آباده | ۹۲ | ۹۵ | ۹۷ | ۸۰ | ۶۵ | ۶۵ | ۳۶ | ۳۶ |
| ۲ | اردکان | ۸۹ | ۵۴ | ۱۰۰ | ۹۸ | ۱۰۰ | ۹۲ | ۳۷ | ۲۸ |
| ۳ | ارستان | . | ۶۳ | ۸۶ | ۹۳ | ۹۸ | ۷۸ | ۳۸ | ۳۷ |
| ۴ | استهبان | ۷۹ | ۳۲ | ۷۳ | ۶۳ | ۹۱ | ۸۰ | ۴۸ | ۹۱ |
| ۵ | اقلید | ۸۱ | ۸۶ | ۹۷ | ۹۷ | ۸۰ | ۶۹ | ۳۱ | ۳۵ |
| ۶ | ایزدخواست | ۸۶ | ۵۳ | ۹۲ | ۷۵ | ۸۷ | ۷۳ | ۲۵ | ۳۰ |
| ۷ | بوانات | ۷۸ | ۵۳ | ۷۰ | ۸۴ | ۷۸ | ۲۹ | ۲۲ | ۳۲ |
| ۸ | تخت جمشید | ۸۱ | ۸۱ | ۹۵ | ۹۸ | ۹۱ | ۸۴ | ۶۷ | ۶۴ |
| ۹ | جهرم | ۸۲ | ۸۳ | ۷۴ | ۶۹ | ۹۶ | ۷۸ | ۴۴ | ۸۷ |
| ۱۰ | داراب | ۷۴ | ۶۳ | ۹۳ | ۸۰ | ۹۴ | ۹۳ | ۶۷ | ۶۷ |
| ۱۱ | دروزن | ۸۸ | ۸۴ | ۹۵ | ۹۵ | ۹۳ | ۸۸ | ۶۲ | ۷۲ |
| ۱۲ | زرقان | ۸۳ | ۸۶ | ۹۳ | ۸۷ | ۸۷ | ۶۷ | ۵۹ | ۶۵ |
| ۱۳ | زرین دشت | ۸۷ | ۶۱ | ۴۷ | ۸۳ | ۷۸ | ۷۴ | ۴۶ | ۸۰ |
| ۱۴ | شیراز | ۷۹ | ۷۸ | ۹۸ | ۹۱ | ۹۸ | ۹۸ | ۷۸ | ۵۱ |
| ۱۵ | صفاشهر | ۸۸ | ۷۷ | ۹۵ | ۷۲ | ۸۱ | ۸۰ | ۴۲ | ۵۳ |
| ۱۶ | فراشیند | ۸۸ | ۷۷ | ۹۵ | ۷۲ | ۸۱ | ۸۰ | ۸۵ | ۶۶ |
| ۱۷ | فسا | ۸۸ | ۷۹ | ۹۸ | ۸۵ | ۹۸ | ۹۸ | ۸۰ | ۷۰ |
| ۱۸ | فیروزآباد | ۶۴ | ۶۴ | ۹۱ | ۶۴ | ۹۸ | ۶۱ | ۴۶ | ۷۷ |
| ۱۹ | قیروکارزین | ۶۹ | ۶۲ | ۷۷ | ۸۵ | ۹۲ | ۵۹ | ۵۰ | ۸۰ |
| ۲۰ | کازرون | ۸۵ | ۶۶ | ۹۳ | ۹۰ | ۸۶ | ۸۲ | ۶۵ | ۵۰ |
| ۲۱ | لار | ۶۰ | ۵۲ | ۶۵ | ۵۱ | ۷۹ | ۹۵ | ۹۱ | ۹۳ |
| ۲۲ | لامرد | ۵۹ | ۷۴ | ۴۶ | ۴۷ | ۷۶ | ۹۶ | ۹۶ | ۹۶ |
| ۲۳ | نورآباد ممسنی | ۹۲ | ۷۴ | ۹۲ | ۹۶ | ۹۶ | ۸۷ | ۷۸ | ۵۱ |
| ۲۴ | نی ریز | ۶۱ | ۶۱ | ۶۴ | ۶۵ | ۸۹ | ۷۱ | ۵۱ | ۶۵ |

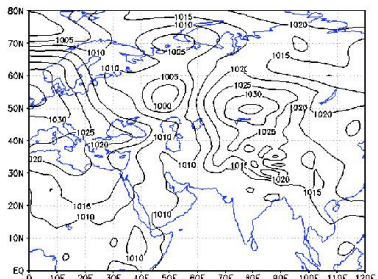
* منبع: اداره هوشمناسی استان فارس

هسته کم‌فشار هم بر روی ایران مرکزی مستقر است. از دیگرسو زبانه‌های هسته پرفشاری که بر روی تبت دیده می‌شود تا نیمه جنوبی کشور امتداد یافته و

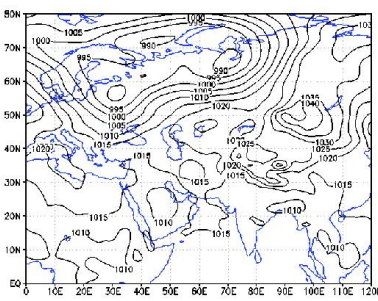
در تاریخ ۹ فروردین هسته کم‌فشار مستقر در شرق آفریقا به سمت عربستان حرکت نموده و زبانه‌های این هسته، خلیج فارس را نیز در بر دارد. یک

به ترتیب بر روی عربستان و ایران مرکزی دیده می‌شود، در منطقه مطالعاتی همچنان شرایط دگرفشاری حاکم است.

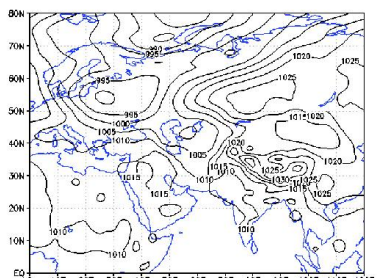
می‌توان گفت در محدوده مطالعاتی شاهد ایجاد شرایط تباین فشار هستیم. در روز ۱۰ فروردین با وجود حضور دو هسته تقریباً ضعیف کم‌فشار و پرفشار که



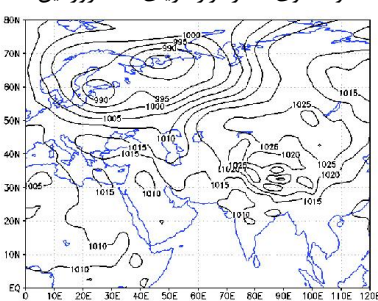
ب) الگوی فشار تراز دریای ۸ فروردین



د) الگوی فشار تراز دریای ۱۰ فروردین



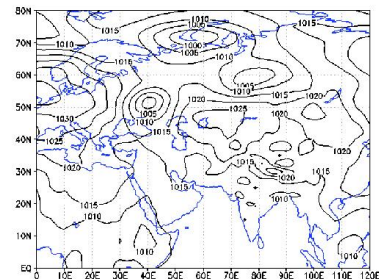
و) الگوی فشار تراز دریای ۱۲ فروردین



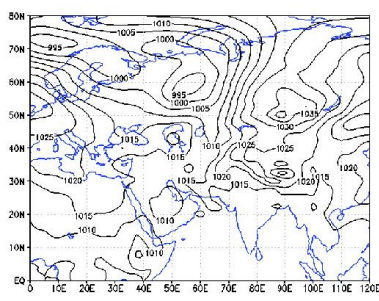
ح) الگوی فشار تراز دریای ۱۴ فروردین

شکل ۲: نقشه‌های الگوهای فشار تراز دریا در تاریخ ۷ تا ۱۴ فروردین ۱۳۹۱ (بر حسب هکتوپاسکال)

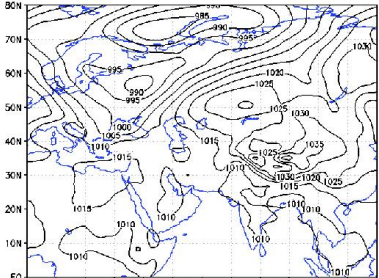
خلیج فارس را نیز در بر گرفته است. هسته کم‌فشار دیگر بر روی شمال دریای سرخ مستقر است که از شمال غرب آفریقا تا سواحل شمال شرقی دریای سرخ



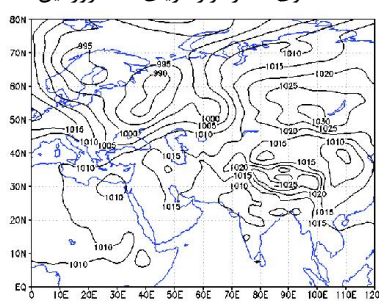
الف) الگوی فشار تراز دریای ۷ فروردین



ج) الگوی فشار تراز دریای ۹ فروردین



ه) الگوی فشار تراز دریای ۱۱ فروردین

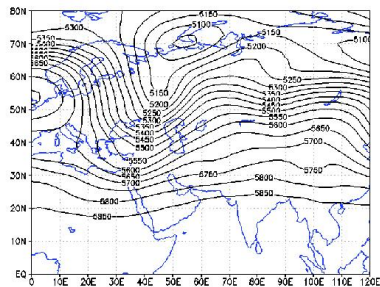


ز) الگوی فشار تراز دریای ۱۳ فروردین

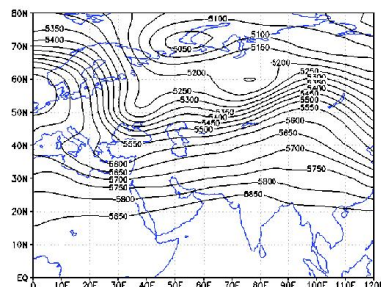
در روز ۱۱ فروردین سه هسته کم‌فشار در اطراف ایران دیده می‌شود، یک هسته در کرانه‌های جنوبی خزر و دیگری بر روی عربستان که تا شمال غرب

می پوشاند. در روز ۱۳ فروردین هر چند بر روی ایران خطوط هم فشار ۱۰۱۵ هکتوپاسکال دیده می شود ولی این خطوط زبانه های پرفشار مستقر بر روی فلات تبت می باشد که در روز ۱۴ فروردین این زبانه ها تا دریای سیاه نیز گستردگی شده است (شکل ۲).

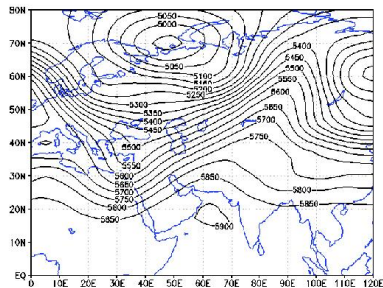
را زیر سیطره خود دارد. در روز ۱۲ فروردین ماه، هسته‌های کم‌فشار به هم نزدیکتر شده و هسته کم‌فشاری که طی روزهای قبل بر روی شرق اروپا دیده می‌شد، زبانه‌های آن در این روز تا جنوب شرق ایران پیش روی نموده است. همچنین مرکز کم‌فشار عربستان گسترده‌تر گشته و استان فارس را نیز



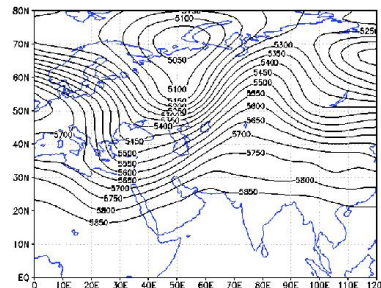
ب) الگوی گردشی تراز ۵۰۰ هکتوپاسکال ۸ فروردین



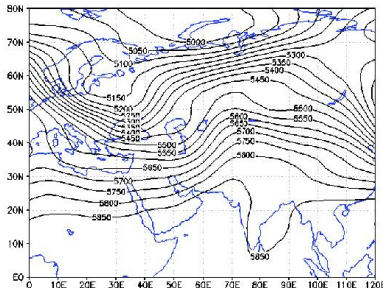
الف) الگوی گردشی تراز ۵۰۰ هکتوپاسکال ۷ فروردین



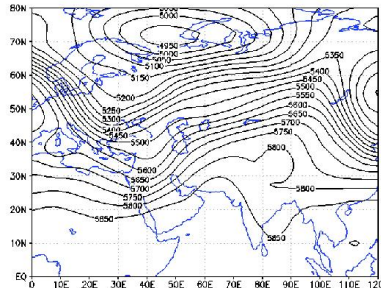
د) الگوی گردشی تراز ۵۰۰ هکتوپاسکال ۱۰ فروردین



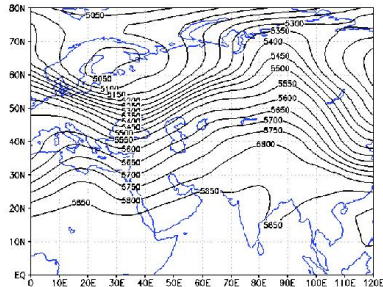
ج) الگوی گردشی تراز ۵۰۰ هکتوپاسکال ۹ فروردین



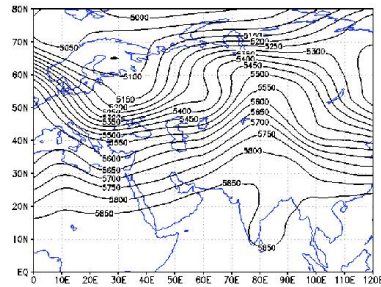
ب) الگوی گردشی تراز ۵۰۰ هکتوپاسکال ۱۲ فروردین



الف) الگوی گردشی تراز ۵۰۰ هکتوپاسکال ۱۱ فروردین



د) الگوی گردشی تراز ۵۰۰ هکتوپاسکال ۱۴ فرودین



ج) الگوی گردشی تراز ۵۰۰ هکتوپاسکال ۱۳ فرودین

شکل ۳: نقشه‌های الگوهای گردشی تراز ۵۰۰ هکتوپاسکال در تاریخ ۷ تا ۱۴ فروردین ۱۳۹۱ (بر حسب ژئوپتانسیل متر)

در غرب این فرود دیده می‌شود. آرایش خطوط در جنوب غرب ایران تقریباً مداری است که بیانگر آرامش نسبی جو در این منطقه می‌باشد. در روز ۱۳ فروردین فرود کاملاً از ایران خارج شده و بر روی ایران خطوط ژئوپتانسیل آرایشی مداری را نشان می‌دهند.

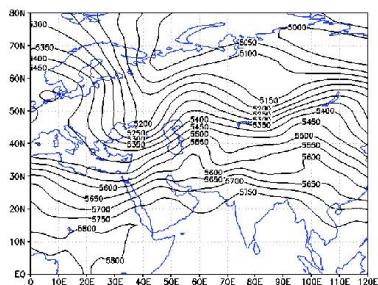
هر چند در روز ۱۴ فروردین فرودی دیگر بر روی دریای سیاه تا دریای سرخ مستقر گشته و انتظار حضور اغتشاشات جدید می‌رود، ولی این روز پایان دوره بارشی مورد بررسی است و ایران تقریباً جوی آرام را نشان می‌دهد (شکل ۳).

تحلیل الگوهای ضخامت جو در ترازهای ۱۰۰۰-۵۰۰ هكتوپاسکال: بر اساس شکل ۵ و بررسی نقشه‌های ضخامت جو طی روزهای ۷ تا ۱۴ فروردین ۱۳۹۱ مشخص شد که در روز ۷ فروردین ماه، آرایش خطوط ضخامت، بر روی ایران تقریباً مداری بوده که نشان دهنده حضور جوی آرام می‌باشد. در روز ۸ فروردین یک فرود نیمه عمیق در شمال غرب ایران دیده می‌شود که از شرق روسیه تا شرق مدیترانه را در بر می‌گیرد و بیانگر ریزش هوای سرد از سمت شمال سیبری به عرض ۳۰ درجه‌ی شمالی است. از دیگر سو، در نیمه شرقی کشور، هوای گرم و مرطوب از سمت دریای عمان تا محدوده بین دریای خزر و دریاچه آرال را در بر می‌گیرد که این دو پدیده سبب کاهش ضخامت جو بر روی ترکیه و عراق گشته و خطوط فشرده‌تر بیانگر ناپیوستگی و حضور جبهه در این محل می‌باشد. در روز ۹ فروردین عمق فرود بیشتر شده و هوای سرد از دو سو به نیمه غربی ایران وارد گشته: شمال سیبری و غرب اروپا. نفوذ زبانه‌های گرم و مرطوب از سمت دریای عمان و دریای عرب به شرق ایران، سبب فشردگی شدید خطوط در غرب ایران و حضور ناپیوستگی و تشکیل جبهه در این محدوده شده است. در این روز غرب ایران، در نیمه شرقی فرود (جلو فرود) قرار گرفته که این محل همراه با صعود هوا و واگرایی بالایی بوده که نتیجه آن حضور جبهه می‌باشد. در روز بعد (۱۰ فروردین) فرود دریای سیاه به سمت شرق حرکت نموده و محور آن شمال شرقی- جنوب غربی گشته و خطوط ضخامت در

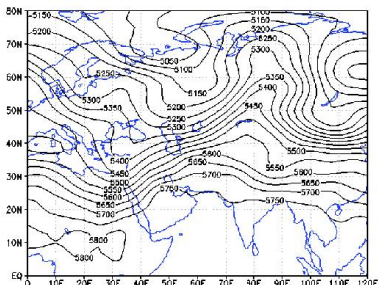
الگوهای گردشی تراز ۵۰۰ هكتوپاسکال جو: براساس شکل ۳ که نمایانگر الگوهای گردشی تراز ۵۰۰ هكتوپاسکال در روزهای مورد بررسی می‌باشد، می‌توان چنین تحلیل نمود که: در روز ۷ فروردین یک سردهجال بر روی دریای کارا دیده می‌شود که زبانه‌های آن به صورت فرود نیمه عمیق تا شرق دریای مدیترانه به محور شمال شرقی، جنوب غربی کشیده شده است. آرایش خطوط ژئوپتانسیل در این روز بر روی ایران بیانگر حضور جوی آرام است. در روز ۸ فروردین بر عمق این فرود افزوده گشته که تا شمال دریای سرخ را در بر دارد و همچنین از لحاظ موقعیت مکانی با تغییر محور شمالی- جنوبی به مناطق شرقی تر جا به جا شده است. در این روز هر چند ایران در جلو فرود مستقر است ولی خطوط فشار بیان‌گر حضور جوی آرام بر ایران است. در روز ۹ فروردین، شرایط ناپایداری بر روی ایران شدیدتر گشته و فرود بسیار عمیق شده و تا شمال غرب آفریقا را در بر می‌گیرد. این فرود دارای دو محور است. محور شمالی- جنوبی که مستقر بر روی سیبری بوده و از شمال غرب دریای خزر تا حدودی محور آن شمال شرقی- جنوب غربی گشته است. در نیمه غربی ایران خطوط ژئوپتانسیل فشرده‌تر می‌باشند که بیانگر قدرت ناپایداری شدت ناپایداری می‌باشد که این ناپایداری می‌تواند نتیجه حضور فراز در نیمه شرقی کشور نیز باشد.

در روز ۱۰ فروردین هر چند حضور فرود در شمال ایران کمرنگ‌تر شده، اما در غرب ایران فرودی نیمه عمیق دیده می‌شود که از دریای سیاه تا شمال شرق آفریقا را در بر می‌گیرد. فرازی که از هسته مستقر روی دریای عرب نشأت گرفته، عمیق‌تر شده که حضور این دو پدیده در شرق و غرب ایران، موجب ناپایداری و اغتشاشات شدیدتری نسبت به روز قبل در نیمه غربی کشور شده است. در روز ۱۱ فروردین ماه، هر چند فرود حرکتی به سوی شرق داشته و به ایران نزدیک‌تر گشته؛ اما عمق آن کمتر شده است. با این وجود نیمه غربی کشور، در شرق این فرود مستقر است. در روز بعد (۱۲ فروردین) این فرود کاملاً بر روی ایران قرار گرفته و در عین حال از عمق آن بسیار کم شده و نیمه غربی کشور

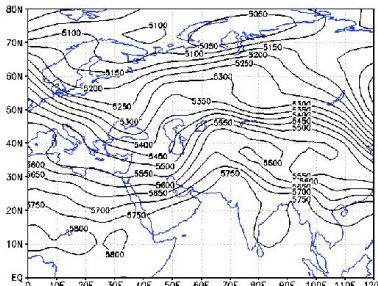
وارد شده است. روز دوازدهم فروردین فرود تغییر محور داده و شمال غربی-جنوب شرقی شده که با این آرایش، محور آن کاملاً بر منطقه مطالعاتی منطبق گشته و استان فارس کاملاً در شرق فرود دیده می‌شود. آرایش خطوط ضخامت جو در روزهای بعد (۱۳ و ۱۴ فروردین) بیانگر استقرار جو آرام بر روی ایران می‌باشد که گویای خروج جبهه و سیستم بارش‌زا از روی منطقه مطالعاتی می‌باشد.



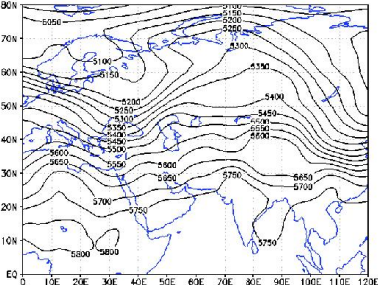
ب) الگوی ضخامت جو ۸ فروردین



د) الگوی ضخامت جو ۱۰ فروردین

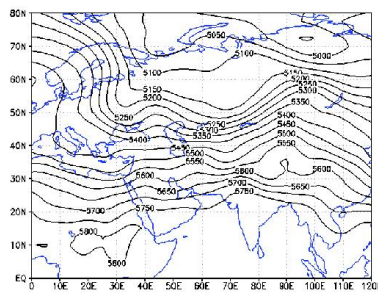


و) الگوی ضخامت جو ۱۲ فروردین

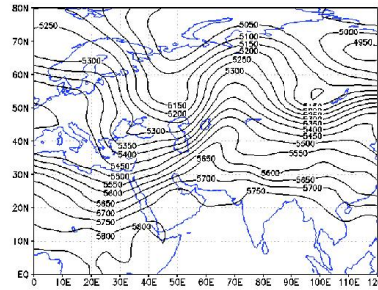


ح) الگوی ضخامت جو ۱۴ فروردین

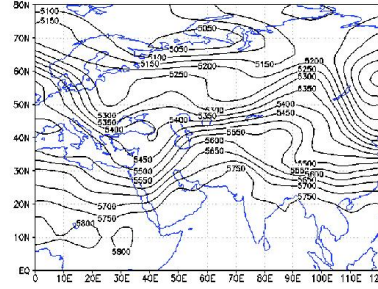
جنوب غرب ایران فشرده‌تر شده و از ضخامت جو در این منطقه کاسته شده است. در نیمه شرقی ایران با افزایش ضخامت جو روبرو هستیم. در روز یازدهم فروردین محور فرود کاملاً شمالی-جنوبی شده و هر چند به ایران نزدیک‌تر گشته ولی در جنوب غرب ایران از ضخامت جو کاسته شده که این افزایش ضخامت ناشی از نفوذ زبانه‌های هوای گرمی است که از سمت دریای عمان و اقیانوس هند به شرق ایران



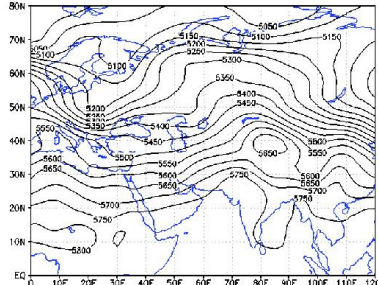
الف) الگوی ضخامت جو ۷ فروردین



ج) الگوی ضخامت جو ۹ فروردین



ه) الگوی ضخامت جو ۱۱ فروردین

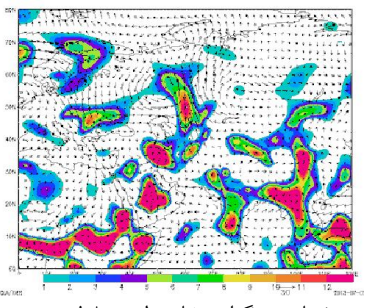


ز) الگوی ضخامت جو ۱۳ فروردین

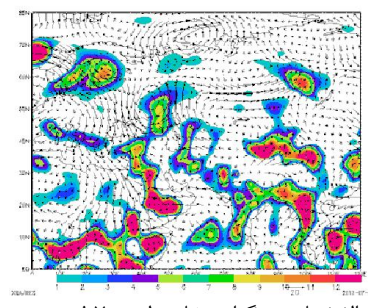
شکل ۵: نقشه‌های الگوهای ضخامت جو در تاریخ ۷ تا ۱۴ فروردین ۱۳۹۱

پس از بررسی نقشه‌ها، مشخص گردید که ترازهای ۹۲۵ و ۱۰۰۰ هکتوپاسکال طی ساعت ۱۸:۰۰ ترازهایی هستند که اهمیت زیادی در تأمین رطوبتی برای بارش در منطقه مورد نظر دارند. آن‌چه در پی می‌آید تحلیل نقشه‌های رطوبتی این دو تراز است (شکل‌های ۴ و ۵).

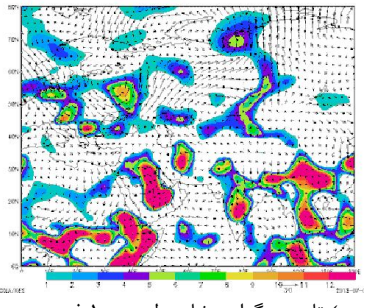
تحلیل تابع همگرایی شار رطوبت: در ارزیابی معادله همگرایی شار رطوبت و شناخت منابع رطوبتی بارش‌ها برای تاریخ‌های مورد مطالعه، تابع همگرایی شار رطوبت در شش تراز طی ساعتهای چهارگانه همدید، تحلیل گردید و سپس برای هر روز یک نقشه میانگین تهیه شد. سپس برای تک تک ترازها نقشه‌های فراوانی هسته‌های رطوبتی ترسیم گردید و



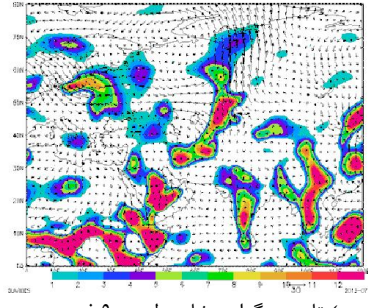
ب) تابع همگرایی شار رطوبت ۸ فروردين



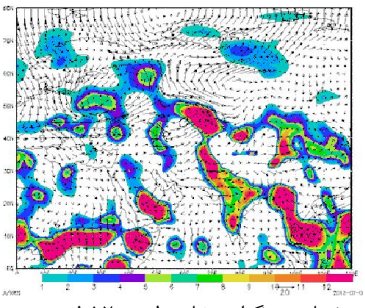
الف) تابع همگرایی شار رطوبت ۷ فروردين



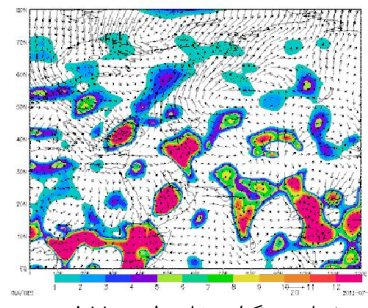
د) تابع همگرایی شار رطوبت ۱۰ فروردين



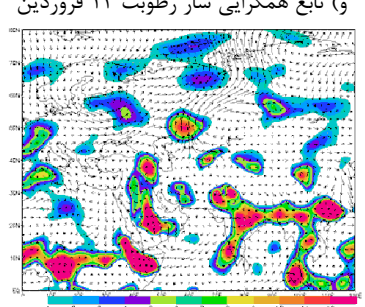
ج) تابع همگرایی شار رطوبت ۹ فروردين



ه) تابع همگرایی شار رطوبت ۱۱ فروردين



ز) تابع همگرایی شار رطوبت ۱۳ فروردين

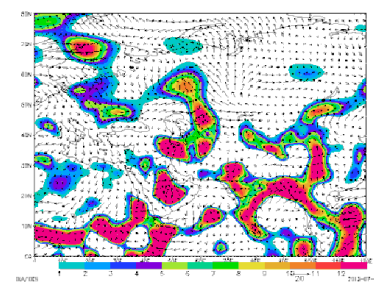


ح) تابع همگرایی شار رطوبت ۱۴ فروردين

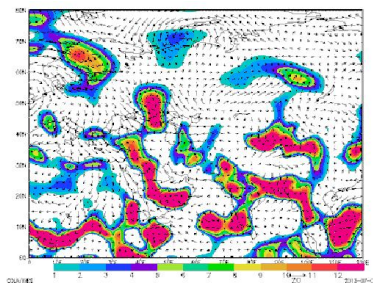
شکل ۴: نقشه‌های تابع همگرایی شار رطوبت تراز ۹۲۵ هکتوپاسکال ساعت ۱۸:۰۰ بر حسب $10^5 \text{g} \cdot \text{kg}^{-1} \cdot \text{s}^{-1}$

دریای عرب، مدیترانه و دریای سرخ تأمین رطوبت می‌نماید. این هسته قوی اثری بر منطقه ندارد. در روز بعد هر چند محدوده گسترش این هسته رطوبتی کم شده؛ اما به سمت جنوب غرب خلیج فارس حرکت نموده و به جز مدیترانه از دیگر پهنه‌های آبی اطرافش تأمین رطوبت می‌شود. همچنین، یک هسته رطوبتی قوی در نیمه شمالی کشور حضور دارد که از سمت خلیج فارس، دریای سیاه و دریای خزر رطوبت تأمین می‌نماید.

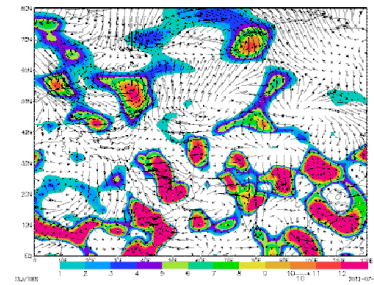
با توجه به نقشه همگرایی شار رطوبت ترسیم شده برای تراز ۹۲۵ هکتوپاسکال برای در اولین روز مورد بررسی (۷ فروردین) یک هسته رطوبتی در شرق ایران دیده می‌شود که زبانه‌های آن با رطوبت بسیار کم قسمتی از استان فارس را نیز در بر دارد. آرایش بردارهای سرعت و حضور این هسته بیانگر تزریق رطوبت از سمت دریای عمان می‌باشد. یک هسته بسیار قوی نیز بر روی عربستان دیده می‌شود که تا شرق مدیترانه نیز امتداد دارد و از سوی خلیج فارس،



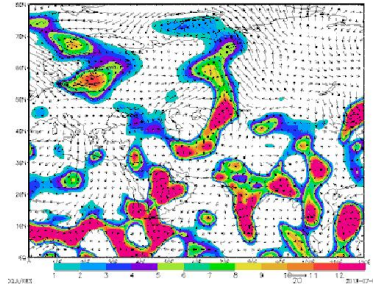
ب)تابع همگرایی شار رطوبت ۸ فروردین



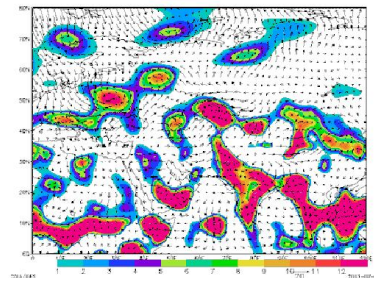
الف)تابع همگرایی شار رطوبت ۷ فروردین



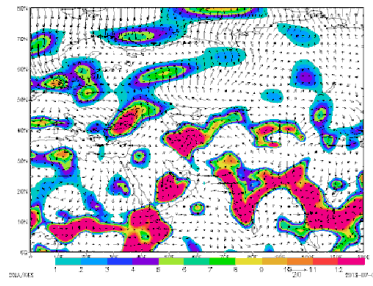
د)تابع همگرایی شار رطوبت ۱۰ فروردین



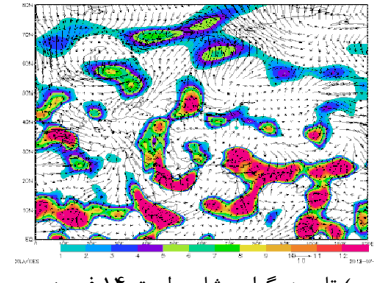
ج)تابع همگرایی شار رطوبت ۹ فروردین



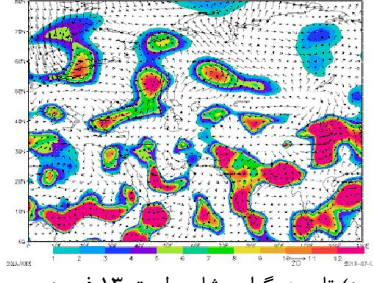
و)تابع همگرایی شار رطوبت ۱۲ فروردین



ه)تابع همگرایی شار رطوبت ۱۱ فروردین



ح)تابع همگرایی شار رطوبت ۱۴ فروردین



ز)تابع همگرایی شار رطوبت ۱۳ فروردین

شکل ۵: نقشه‌های تابع همگرایی شار رطوبت تراز ۱۰۰۰ هکتوپاسکال ساعت ۱۸:۰۰ بر حسب $10^5 \text{ g} \cdot \text{kg}^{-1} \cdot \text{s}^{-1}$

جمع‌بندی و نتیجه‌گیری

با توجه به نقشه‌های فشار تراز دریا در روزهای اوج بارش (۹ تا ۱۱ فروردین) جنوب غرب ایران، خصوصاً منطقه فارس زیر سلطه زبانه‌های کم‌فشار می‌باشد. همچنین، نقشه‌های الگوهای گردشی تراز ۵۰۰ هکتوپاسکال نیز نشان داد رخداد بارش‌های شدید استان فارس ناشی از حضور فرود بسیار عمیق بر روی دریای سیاه و شرق مدیترانه بوده که به دنبال پشتۀ مستقر بر روی غرب مدیترانه ظاهر گردیده است. این موضوع می‌تواند از این حیث که منطقه مطالعاتی زیر نفوذ کم‌فشار بوده ممکن تحقیقات اسدی و مسعودیان (۱۳۸۰) باشد که نشان دادند در صورت حاکمیت کم‌فشار در سطح ۵۰۰ هکتوپاسکال سیستم‌های باران‌زای مدیترانه‌ای، سودانی-دریایی سرخ از عوامل ایجاد سیلاب سال ۱۳۸۰ شیراز بوده است. البته بر اساس این پژوهش استقرار فرودی بسیار عمیق بر روی دریای سیاه و شرق مدیترانه در تراز میانی جو می‌تواند عامل رخداد بارش‌های پدید آورنده سیل در منطقه قلمداد شود. علاوه بر این، نقشه‌های ضخامت جو ترازهای ۵۰۰-۱۰۰۰ هکتوپاسکال بیانگر این مطلب است که هوای سرد از سمت شمال سیبری و غرب اروپا وارد نیمة غربی ایران شده و با زبانه‌های گرم نفوذی از سوی دریای عمان و دریای عرب به سمت نیمة شرقی کشور رفته و در محل برخورد این دو توده هوای گرم و سرد (نیمة غربی ایران) ضخامت جو کاسته شده و ناپایداری جو و اغتشاشات سبب رخداد جبهه و متعاقب آن ریزش بارش شدید شده است. این موضوع موج در رخداد سیل در طول دوره مورد بررسی است. همچنین با تحلیل نقشه‌های تابع همگرایی شار رطبوبت، منابع رطبوبتی مؤثر در رخداد این نوع بارش‌ها شناسایی گردید که به ترتیب اهمیت عبارتند از: پهنلهای آبی دریایی سرخ، دریایی عرب و خلیج فارس.

منابع

۱. اسدی، اشرف. سیدابوالفضل مسعودیان. ۱۳۸۳. بررسی سینوپتیکی سیلاب شیراز، دومین کنفرانس ملی دانشجویی منابع آب و خاک، شیراز.

نقشه تابع همگرایی شار رطبوبت در روز ۹ فروردین نشانگر حضور هسته رطبوبتی قوی بر روی عربستان است که با هسته‌های رطبوبتی آفریقا ادغام گشته و یک کمربندی از رطبوبت را از غرب آفریقا تا شرق عربستان را می‌پوشاند. جهت بردارهای سرعت، نشان از ورود این رطبوبت به جنوب غرب ایران است. در روز ۱۰ فروردین هسته رطبوبتی عربستان قوی‌تر و گستردگه‌تر شده و تا حدودی جنوب غرب ایران را نیز در بر می‌گیرد. یک هسته نیز در شرق ایران مستقر است که البته تأثیری بر روی منطقه مطالعاتی ندارد. در روز ۱۱ فروردین به دنبال افزایش سرعت باد، هسته‌های رطبوبتی تشکیل شده اطراف محدوده مطالعاتی نیز بیشتر شده که از تمامی پهنه‌های آبی اطراف ایران تأمین رطبوبت شده‌اند البته منابع رطبوبتی اثرگذار بر روی استان فارس با توجه به بردارهای سرعت و هسته‌های رطبوبتی، دریایی عرب و خلیج فارس است. در روز ۱۲ فروردین با واگرایی شدن بردارهای سرعت و عقب نشینی هسته رطبوبتی به سمت مرکز عربستان، شاهد خروج رطبوبت از استان فارس هستیم؛ هر چند رطبوبت اندکی از سمت هسته رطبوبتی مستقر در نیمه شمالی کشور وارد این منطقه می‌شود.

در روز ۱۳ فروردین یک هسته در شرق ایران دیده می‌شود ولی اثری بر محدوده مطالعاتی ندارد. هر چند در روز بعد دوباره هسته‌های رطبوبتی تقویت گشته و گستردگه‌تر شده‌اند ولی این روز انتهای دوره بارشی مورد بررسی می‌باشد که اثرگذار بر روی محدوده مطالعاتی نیست. با توجه به شکل‌های شماره ۹ و ۱۰ که نقشه‌های تابع همگرایی رطبوبت روزهای مورد بررسی در تراز ۱۰۰۰ هکتوپاسکال در ساعت ۱۸ می‌باشد؛ همان شرایط تراز ۹۲۵ هکتوپاسکال حاکم می‌باشد و تنها تفاوت آن قدرت بیشتر و گستردگی هسته‌های رطبوبتی مستقر در اطراف ایران می‌باشد. آن چه در این نقشه‌ها چشمگیرتر است افزایش سرعت بردارهای باد و تغییر جهت ناگهانی آنها می‌باشد. نقشه روز ۱۰ فروردین این تغییرات را به خوبی نشان می‌دهد.

۱۳. مسعودیان، سیدابوالفضل. ۱۳۸۴. پیش‌بینی و برآورد سیلاب در استان چهارمحال و بختیاری، طرح پژوهشی استانداری چهارمحال و بختیاری.
۱۴. مفیدی، عباس. ۱۳۸۳. اقلیم‌شناسی سینوپتیکی بارش‌های سیل‌زا با منشأ دریای سرخ در خاورمیانه، فصلنامه تحقیقات جغرافیایی، شماره ۷۵، مشهد.
۱۵. یارنال، برنت. ۱۹۹۳. اقلیم‌شناسی همید و کاربرد آن در مطالعات محیطی، ترجمه سیدابوالفضل مسعودیان، چاپ اول، اصفهان، انتشارات دانشگاه اصفهان.
۱۶. Banacos. P.G., and Schulta, D.M. 2004. Moisture Flux Convective Initiation Forcasting, www.ams.confex.com
۱۷. Carla Lima, K., Satyamurti, P. and Reyes Fernández, J.P. 2009. Large-Scale Atmospheric Conditions Associated with Heavy Rainfall Episodes in Southeast Brazil, Theoretical and Applied Climatology, Springer Wien, DOI. 10.1007/s00704-009-0207-9.
۱۸. Hidalgo-Munoz, J.M., Argüeso, D., Gamiz-Fortis, S.R., Esteban-Parra, M.J., and Castro-Diez, Y. 2011. Trends of extreme precipitation and associated synoptic patterns over the southern Iberian Peninsula. Journal of Hydrology 409, 497-511.
۱۹. Kahana, R. 2002. Synoptic Climatology of Major Floods in the Negev Desert, J. Climatol, 22:867-882.
۲۰. Kato, Teruyuki 2004. Formation Features of 2004 Niigata-Fukushima and Fukui heavy Rainfall and Problems in the Precipitation Using a Cluded Resolving Model. Solla. Vol.xx.xxx-xxx, doi 10.2151/sola.2xxx.
۲۱. Komusce, A.U. et al. 1998. Analysis of Meteorological and Terrain Features Leaing to the Izmir Flash Foods, 3-4 Novamber”, Natural Hazards, 18: 1-25.
۲۲. Krichak, S. et al. 2000. November 2, 1994. Sever Storms in the Southeastern Mediterranean, Atmospheric Research, 53: 45-62.
۲۳. Lee, Dong-Kyou, Park, Jeong-Gyun, and Joo-Wan, Kim. 2009. Heavy rainfall events Lasting 18 days from July 31 to August 17, 1998, over Korea, Journal of the Meteorological Society of Japan, 86(2): 313-333.
۲۴. Mastrangelo, D., Horvath, K., Riccio, A., and Miglietta, M.M. 2011. Mechanisms for convection development in a long-lasting heavy precipitation event over southeastern Italy. Atmospheric Research 100, 586-602.
۲۵. Robert A., Maddox, Faya Canova and Ray Hoxi, L. 1980. Meteorological
۲. باقري، سعيد. ۱۳۷۲. بررسی سینوپتیکی سیستم‌های سیل‌زا در شمال ایران، پایان‌نامه کارشناسی ارشد زئوفیزیک، دانشگاه تهران، دانشکده علوم.
۳. پرنده خوزانی، اکرم، حسن لشکری. ۱۳۸۹. بررسی سینوپتیکی سیستم‌های سیل‌زا در جنوب ایران، مجله تحقیقات منابع آب ایران، شماره ۲، تهران.
۴. حجازی‌زاده، زهرا، زین‌العابدین جعفرپور و نادر پروین. ۱۳۸۶. بررسی و شناسایی الگوهای سینوپتیکی تراز ۵۰۰ هکتوباسکال مولد سیلاب‌های مخرب و فرآگیر سطح حوضه آبریز دریاچه ارومیه، نشریه علوم جغرافیایی، دوره ۷، جلد ۷، تهران.
۵. حجتی‌زاده، رحیم. ۱۳۸۱. بررسی سینوپتیکی سیلاب رودهای دائمی غربی زاگرس (با تأکید بر حوضه‌های کرخه و کارون-دز)، پایان‌نامه دوره دکتری جغرافیای طبیعی گرایش اقلیم‌شناسی، استاد راهنمای دکتر محمد رضا کاویانی، دانشگاه اصفهان، دانشکده علوم انسانی، گروه جغرافیا.
۶. علیجانی، بهلوان. ۱۳۸۵. اقلیم‌شناسی سینوپتیک، چاپ اول، تهران، انتشارات سمت.
۷. غیور، حسنعلی. ۱۳۷۵. سیل و مناطق سیل خیز در ایران، فصلنامه تحقیقات جغرافیایی، شماره ۴۰، مشهد.
۸. کاویانی، محمد رضا، رحیم حجتی‌زاده. ۱۳۸۰. تحلیل سینوپتیک و ترمودینامیک واقعه سیل اسفندماه ۱۳۷۱ در حوضه آبی کارون، مجله علمی-پژوهشی دانشکده ادبیات و علوم انسانی دانشگاه اصفهان، دوره دوم، شماره ۲۶ و ۲۷، اصفهان.
۹. مارتین، جاتان. ۲۰۰۶. دینامیک جو در عرض میانه، ترجمه سیدابوالفضل مسعودیان، ۱۳۸۸، چاپ اول، اصفهان، انتشارات دانشگاه اصفهان و سمت.
۱۰. مرادی، حمیدرضا. ۱۳۸۰. بررسی سینوپتیک سیلاب ۲۱ آبان ماه سال ۱۳۷۵ در نواحی مرکزی استان مازندران، آموزش جغرافیا، سال شانزدهم، شماره ۵۷، تهران.
۱۱. مرادی، حمیدرضا. ۱۳۸۳. پیش‌بینی سیلاب‌ها بر اساس موقعیت‌های سامانه‌های همید در شمال شرق ایران، فصلنامه تحقیقات جغرافیایی، شماره ۷۵، مشهد.
۱۲. مسعودیان، سیدابوالفضل. ۱۳۸۴. شناسایی الگوهای گردشی پدید آورنده سیلاب‌های بزرگ در کارون، مجله جغرافیا و توسعه، شماره ۵، زاهدان.

27. Ziv, B. et al. 2005. A Mild Winter Tropical Extreme Flood Producing Storm in Southern Israel: Synoptic Scale Analysis, Meteorology and Atmospheric Physics, 88: 53-63.
- characteristics of flash flood events over the western united stated. Monthly weather review, 108.
26. Rohli, R.V. et al. 2001. Synaptic Circulation and Stream Discharge in the Grent Lake Basin USA, Applied Geography, 21: 364-385.